

III-A 20

平面ひずみ水平繰返し载荷における砂の非線形応力-ひずみ履歴関係

東日本旅客鉄道 正会員 ○増田 達
 東京大学工学部 正会員 龍岡 文夫
 基礎地盤コンサルタンツ 正会員 山田 眞一

1 はじめに：掘削工事で切梁にプレートを導入する場合、背面地盤に水平方向の载荷，除荷の繰返しがほぼ平面ひずみ状態で加わる（図1 a）。このような主働・受働土圧状態が繰返される時の土の変形特性を解明するため，原位置応力比 $\sigma_v(f)/\sigma_h(f) = K_0$ で異方圧密された砂の平面ひずみ繰返しせん断試験（図1 b）^{1), 2)} を行い，非線形応力-ひずみ履歴の反転則を考察した。

2 反転則に関する考察：異方圧密から単調载荷試験により得られた $y = \sin \phi_{mob} = (\sigma_v - \sigma_h) / (\sigma_v + \sigma_h)$ とせん断ひずみ $x = \gamma = \epsilon_v$ (LDTで計測) - ϵ_h (gap sensorで測定) の関係より， $y=0$ から载荷した時の関係を推定して，基本関数（骨格曲線）を求めた（図2）。これを，式（1）で表す。

$$PSC; y = f(x), \quad PSE; y = g(x) \quad (1)$$

(a) 基本反転則：図3で反転則の概念を説明する。今，原点0からPSC载荷 ($dy > 0$) を行い点1に来たとする。ここで，反転して ($dy < 0$)，点2，3へ向かう。 x_{max} をこれまでに载荷方向を反転した点の x 座標のなかの最大値とする（点2，6においては $x_{max} = x_1$ ）。 x_{min} は， x_{max} と0点を結んだ直線と $y = g(x)$ の交点Cの x 座標である（点2，3においては $x_{min} = x_c$ ）。ただし， $x < x_{min}$ となった時点で， x_{min} はその時の x となる（点8において $x_{min} = x_8$ ）。 x_{max} も更新されて点9の $x_{max} = x_9$ となる。ここで，次のような External rule 及び Internal rule を適用する。1) $dy > 0$ の载荷の時： $x \leq x_{min}$ からの载荷は External rule； $x_{max} \geq x \geq x_{min}$ からの载荷は Internal rule； $x \geq x_{max}$ からの载荷は $y = f(x)$ 。2) $dy < 0$ の载荷の時： $x \geq x_{max}$ からの载荷は External rule； $x_{min} \leq x \leq x_{max}$ からの载荷は Internal rule； $x \leq x_{min}$ からの载荷は $y = g(x)$ 。図3で曲線1→2は External rule による曲線1→C上にあり，式（2）で表され，点Cで $y = g(x)$ にスムーズに再参加する。曲線2→4は Internal rule により，0→d間の $y = f(x)$ を拡大した式（3）で表され，点4（=点1）に至る。点4では， $y = f(x)$ にスムーズには再参加しない。

$$(y - y_1) / n_1 = g((x - x_1) / n_1), \quad n_1 = (-y_c + y_1) / (-y_c) = (-x_c + x_1) / (-x_c) \quad (2)$$

$$(y - y_2) / n_2 = f((x - x_2) / n_2), \quad n_2 = (y_1 - y_2) / y_d = (x_1 - x_2) / x_d \quad (3)$$

(b) 基本反転則の適用：図4(a)～(c)に繰返し载荷状態における $\sin \phi_{mob} \sim \gamma$ 関係の実験結果を示す。図には式（1）の骨格曲線を入れている。表1には繰返し载荷状態の各履歴曲線が適用される基本反転則及びその際の式（2），（3）における n 値（図3の0点からの基本関数を用いて求めている）を示すが，1.0より大きく一定値ではないことがわかる。 $n_1 = n_2 = 2$ の時，Masingの第2 ruleと同じになる。

(c) Drag rule について：基本反転則では，図3で点4は $y = f(x)$ 上にあるが，実験では点2がPSE側 ($y < 0$ 側) により载荷されるほど $y = f(x)$ の上方に来る傾向がある。同様に図3の点Cは実験では $y = g(x)$ の下方に来る傾向がある。この現象は，図5に示す応力振幅一定繰返し試験で伸張側に明瞭に現れている。これら現象を説明できるように，直前の反転前にたどっていた応力ひずみ曲線 ($y = f(x)$, $y = g(x)$ 含む) が現在の载荷方向に水平に移動する（引きずられる）Drag rule のようなものが必要である。図7(a)で Internal rule に従う曲線2→4'は点4で再参加する基本曲線は $y = f(x)$ を x 軸方向に Δx_{12} (< 0) シフトした $y = f(x - \Delta x_{12})$ になる。図7(b)では External rule に従う曲線8→9'が点9'でシフトされた基本曲線 $y = f(x - \Delta x_{18})$ に再参加する。Drag量 Δx は反転してからのひずみ増分 ($x_2 - x_1, x_8 - x_1$) の増加に従って増加すると思われるが，定量的検討は今後の課題である。

(d) 改良が必要な点：図5で圧縮側 ($y > 0$) でのピーク点の x は繰返し载荷とともに増加している。この傾向は，図6に示す y の符号が反転しない繰返し試験で伸張側 ($y < 0$) でのピーク点でも見られる。これは，drag rule とは逆な現象である。これは $|\Delta x_u| = |\Delta x_u| + \Delta c$ のような creep rule を導入する必要があることを示唆している (Δc は $|\Delta x_u|$ が小さいほど大きくなる値)。この rule と上記 drag rule と合わせることで，図8において，再载荷曲線2→3，4→5，6→7が基本曲線 $y = f(x)$ 又は $y = f(x - \Delta x)$ に再参加する点3，5，7が図に示すように $|\Delta x_u|$ が大きくなると右から左へずれてゆくことが model 化できると思われる。

（参考文献）：1) 増田達，龍岡文夫，山田眞一（1996）：平面ひずみ水平繰返し载荷における砂の非線形応力-ひずみ履歴，第31回地盤工学研究発表会講演集。2) 山田眞一，増田達，佐藤剛司，山口勇，龍岡文夫（1996）：平面ひずみ圧縮・伸張試験と砂の挙動，第31回地盤工学研究発表会講演集。

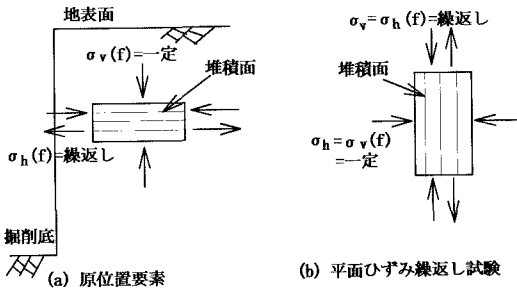


図1 原位置要素と平面ひずみ繰返し試験の対応

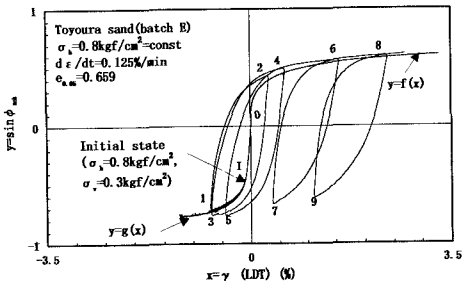
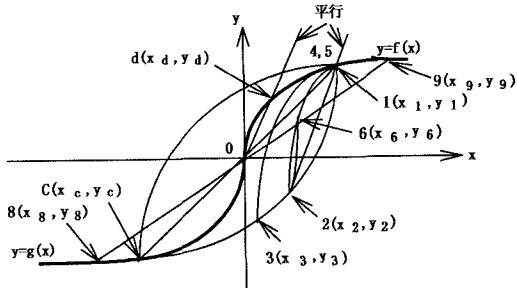


図4 (b) 繰返し載荷試験結果

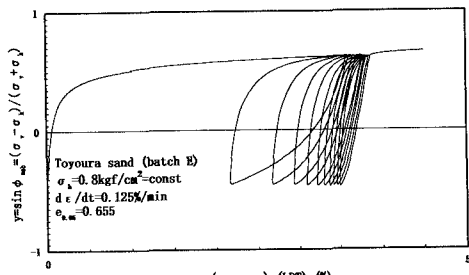


図5 繰返し載荷試験結果

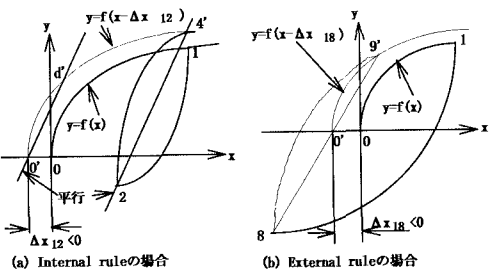


図7 Drag ruleの概念

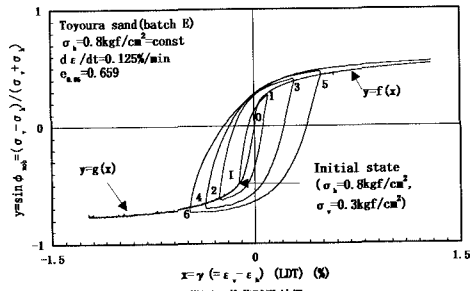
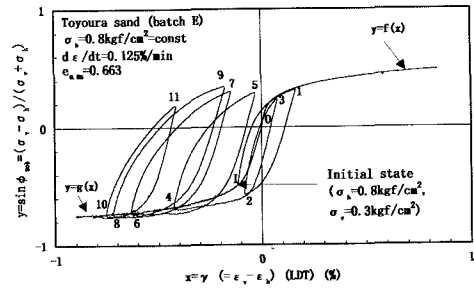
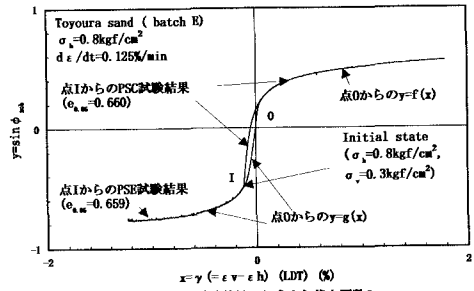


図6 繰返し載荷試験結果

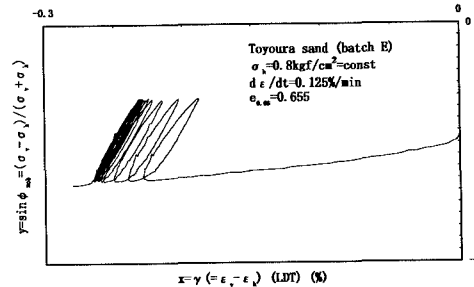


表1 試験結果への反転則適用

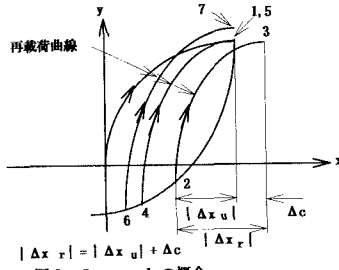


図4反転点	適用rule	値
(a) 0→1	primary	
1→2	External	1.49
2→3	Internal	3.58
3→2→4	Internal	2.11
4→5	External	2.98
5→4→6	Internal	1.63
6→7	External	2.82
7→6→8	Internal	1.63
(b) 0→1	primary	
1→2	External	2.73
2→3	Internal	1.59
3→2→4	Internal	3.02
4→5	External	1.66
(c) 0→1	primary	
1→2	External	1.45
2→3	External	3.21
3→4	External	2.71
4→5	Internal	3.16
5→6	External	1.63
6→5→	Internal	2.52